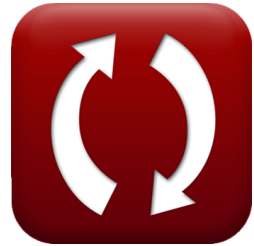


calculatoratoz.comunitsconverters.com

Onsamendrukbare stroom over eindige vleugels Formules

[Rekenmachines!](#)[Voorbeelden!](#)[Conversies!](#)

Bladwijzer calculatoratoz.com, unitsconverters.com

Breedste dekking van rekenmachines en groeiend - **30.000+ rekenmachines!**

Bereken met een andere eenheid voor elke variabele - **In ingebouwde eenheidsconversie!**

Grootste verzameling maten en eenheden - **250+ metingen!**



DEEL dit document gerust met je vrienden!

[Laat hier uw feedback achter...](#)



Lijst van 48 Onsamendrukbare stroom over eindige vleugels Formules

Onsamendrukbare stroom over eindige vleugels ↗

Luchtweerstandscoëfficiënten voor eindige vleugels



1) Geïnduceerde weerstandscoëfficiënt ↗

fx $C_{D,i} = \frac{D_i}{q_\infty \cdot S}$

Rekenmachine openen ↗

ex $0.004418 = \frac{101N}{4500Pa \cdot 5.08m^2}$

2) Geïnduceerde weerstandscoëfficiënt gegeven totale weerstandscoëfficiënt ↗

fx $C_{D,i} = C_D - c_d$

Rekenmachine openen ↗

ex $0.22 = 0.42 - 0.2$



3) Profielweerstandscoëfficiënt ↗

fx $c_d = \frac{F_{\text{skin}} + P_{\text{drag}}}{q_\infty \cdot S}$

[Rekenmachine openen ↗](#)

ex $0.005074 = \frac{100N + 16N}{4500Pa \cdot 5.08m^2}$

4) Profielweerstandscoëfficiënt gegeven totale weerstandscoëfficiënt ↗

fx $c_d = C_D - C_{D,i}$

[Rekenmachine openen ↗](#)

ex $-1.58 = 0.42 - 2$

5) Totale weerstandscoëfficiënt voor subsonische eindige vleugel ↗

fx $C_D = c_d + C_{D,i}$

[Rekenmachine openen ↗](#)

ex $2.2 = 0.2 + 2$

Effectieve aanvalshoek ↗

6) Effectieve aanvalshoek van eindige vleugel ↗

fx $\alpha_{\text{eff}} = \alpha - \alpha_i$

[Rekenmachine openen ↗](#)

ex $1^\circ = 12^\circ - 11^\circ$



7) Geïnduceerde aanvalshoek gegeven effectieve aanvalshoek

fx $\alpha_i = \alpha - \alpha_{\text{eff}}$

[Rekenmachine openen !\[\]\(e2376d476d06eb31946dc01a69a4403a_img.jpg\)](#)

ex $4^\circ = 12^\circ - 8^\circ$

8) Geometrische aanvalshoek gegeven effectieve aanvalshoek

fx $\alpha = \alpha_{\text{eff}} + \alpha_i$

[Rekenmachine openen !\[\]\(0b5e7e25e8775f7e7e80906ada4f0021_img.jpg\)](#)

ex $19^\circ = 8^\circ + 11^\circ$

Geïnduceerde snelheid

9) Snelheid geïnduceerd op punt door oneindig recht vortex-filament

fx $v = \frac{\gamma}{2 \cdot \pi \cdot h}$

[Rekenmachine openen !\[\]\(0fb13ad0bfa3d86868cdd3883e5665b3_img.jpg\)](#)

ex $3.9038 \text{ m/s} = \frac{13 \text{ m}^2/\text{s}}{2 \cdot \pi \cdot 530 \text{ mm}}$

10) Snelheid geïnduceerd op punt door semi-oneindige rechte vortex-gloeidraad

fx $v = \frac{\gamma}{4 \cdot \pi \cdot h}$

[Rekenmachine openen !\[\]\(e50091943b385fe16d3277389202856f_img.jpg\)](#)

ex $1.9519 \text{ m/s} = \frac{13 \text{ m}^2/\text{s}}{4 \cdot \pi \cdot 530 \text{ mm}}$

Prandtl's klassieke heflijntheorie



Distributie elliptische lift

11) Beeldverhouding gegeven geïnduceerde aanvalshoek

fx $AR = \frac{C_L}{\pi \cdot \alpha_i}$

[Rekenmachine openen !\[\]\(950a62bbddad88d64435fd35607dfc42_img.jpg\)](#)

ex $1.823781 = \frac{1.1}{\pi \cdot 11^\circ}$

12) Beeldverhouding gegeven geïnduceerde weerstandscoëfficiënt

fx $AR = \frac{C_L^2}{\pi \cdot C_{D,i}}$

[Rekenmachine openen !\[\]\(73002692dd5e7a64e60946be3158e719_img.jpg\)](#)

ex $0.192577 = \frac{(1.1)^2}{\pi \cdot 2}$

13) Circulatie op gegeven afstand langs spanwijdte

fx $\Gamma = \Gamma_o \cdot \sqrt{1 - \left(2 \cdot \frac{a}{b}\right)^2}$

[Rekenmachine openen !\[\]\(104fbf564e2e5a8fbd84f31656d114c7_img.jpg\)](#)

ex $14\text{m}^2/\text{s} = 14\text{m}^2/\text{s} \cdot \sqrt{1 - \left(2 \cdot \frac{16.4\text{mm}}{950\text{m}}\right)^2}$



14) Downwash in elliptische liftdistributie ↗

fx $w = -\frac{\Gamma_o}{2 \cdot b}$

[Rekenmachine openen ↗](#)

ex $-0.007368 \text{ m/s} = -\frac{14 \text{ m}^2/\text{s}}{2 \cdot 950 \text{ m}}$

15) Freestream-snelheid gegeven circulatie bij oorsprong ↗

fx $V_\infty = \pi \cdot b \cdot \frac{\Gamma_o}{2 \cdot S_{\text{origin}} \cdot C_L}$

[Rekenmachine openen ↗](#)

ex $3666.478 \text{ m/s} = \pi \cdot 950 \text{ m} \cdot \frac{14 \text{ m}^2/\text{s}}{2 \cdot 5.18 \text{ m}^2 \cdot 1.1}$

16) Freestream-snelheid gegeven geïnduceerde aanvalshoek ↗

fx $V_\infty = \frac{\Gamma_o}{2 \cdot b \cdot \alpha_i}$

[Rekenmachine openen ↗](#)

ex $0.03838 \text{ m/s} = \frac{14 \text{ m}^2/\text{s}}{2 \cdot 950 \text{ m} \cdot 11^\circ}$

17) Geïnduceerde weerstandscoëfficiënt gegeven beeldverhouding ↗

fx $C_{D,i} = \frac{C_L^2}{\pi \cdot AR}$

[Rekenmachine openen ↗](#)

ex $0.025677 = \frac{(1.1)^2}{\pi \cdot 15}$



18) Lift of Wing gegeven circulatie bij oorsprong ↗

fx $F_L = \frac{\pi \cdot \rho_\infty \cdot V_\infty \cdot b \cdot \Gamma_o}{4}$

[Rekenmachine openen ↗](#)

ex $870134.8N = \frac{\pi \cdot 1.225\text{kg/m}^3 \cdot 68\text{m/s} \cdot 950\text{m} \cdot 14\text{m}^2/\text{s}}{4}$

19) Lift op gegeven afstand langs spanwijdte ↗

fx $F_L = \rho_\infty \cdot V_\infty \cdot \Gamma_o \cdot \sqrt{1 - \left(2 \cdot \frac{a}{b}\right)^2}$

[Rekenmachine openen ↗](#)

ex $1166.2N = 1.225\text{kg/m}^3 \cdot 68\text{m/s} \cdot 14\text{m}^2/\text{s} \cdot \sqrt{1 - \left(2 \cdot \frac{16.4\text{mm}}{950\text{m}}\right)^2}$

20) Liftcoëfficiënt gegeven circulatie bij oorsprong ↗

fx $C_L = \pi \cdot b \cdot \frac{\Gamma_o}{2 \cdot V_\infty \cdot S_{\text{origin}}}$

[Rekenmachine openen ↗](#)

ex $59.31067 = \pi \cdot 950\text{m} \cdot \frac{14\text{m}^2/\text{s}}{2 \cdot 68\text{m/s} \cdot 5.18\text{m}^2}$

21) Liftcoëfficiënt gegeven geïnduceerde aanvalshoek ↗

fx $C_L = \pi \cdot \alpha_i \cdot AR$

[Rekenmachine openen ↗](#)

ex $9.047137 = \pi \cdot 11^\circ \cdot 15$



22) Liftcoëfficiënt gegeven geïnduceerde weerstandscoëfficiënt

fx $C_L = \sqrt{\pi \cdot AR \cdot C_{D,i}}$

[Rekenmachine openen](#)

ex $9.70813 = \sqrt{\pi \cdot 15 \cdot 2}$

Circulatie bij oorsprong

23) Circulatie bij Oorsprong gegeven Downwash

fx $\Gamma_o = -2 \cdot w \cdot b$

[Rekenmachine openen](#)

ex $76000 \text{m}^2/\text{s} = -2 \cdot -40 \text{m/s} \cdot 950 \text{m}$

24) Circulatie bij oorsprong gegeven geïnduceerde aanvalshoek

fx $\Gamma_o = 2 \cdot b \cdot \alpha_i \cdot V_\infty$

[Rekenmachine openen](#)

ex $24804.62 \text{m}^2/\text{s} = 2 \cdot 950 \text{m} \cdot 11^\circ \cdot 68 \text{m/s}$

25) Circulatie bij oorsprong gegeven Lift of Wing

fx $\Gamma_o = 4 \cdot \frac{F_L}{\rho_\infty \cdot V_\infty \cdot b \cdot \pi}$

[Rekenmachine openen](#)

ex $0.000169 \text{m}^2/\text{s} = 4 \cdot \frac{10.5 \text{N}}{1.225 \text{kg/m}^3 \cdot 68 \text{m/s} \cdot 950 \text{m} \cdot \pi}$



26) Circulatie bij oorsprong in elliptische liftdistributie ↗

fx $\Gamma_o = 2 \cdot V_\infty \cdot S_{\text{origin}} \cdot \frac{C_l}{\pi \cdot b}$

[Rekenmachine openen ↗](#)

ex $0.354068 \text{ m}^2/\text{s} = 2 \cdot 68 \text{ m/s} \cdot 5.18 \text{ m}^2 \cdot \frac{1.5}{\pi \cdot 950 \text{ m}}$

Geïnduceerde aanvalshoek ↗

27) Geïnduceerde aanvalshoek gegeven beeldverhouding ↗

fx $\alpha_i = \frac{C_l}{\pi \cdot AR}$

[Rekenmachine openen ↗](#)

ex $1.823781^\circ = \frac{1.5}{\pi \cdot 15}$

28) Geïnduceerde aanvalshoek gegeven circulatie bij oorsprong ↗

fx $\alpha_i = \frac{\Gamma_o}{2 \cdot b \cdot V_\infty}$

[Rekenmachine openen ↗](#)

ex $0.006209^\circ = \frac{14 \text{ m}^2/\text{s}}{2 \cdot 950 \text{ m} \cdot 68 \text{ m/s}}$



29) Geïnduceerde aanvalshoek gegeven downwash

fx $\alpha_i = - \left(\frac{w}{V_\infty} \right)$

Rekenmachine openen 

ex $33.7034^\circ = - \left(\frac{-40\text{m/s}}{68\text{m/s}} \right)$

30) Geïnduceerde aanvalshoek gegeven liftcoëfficiënt

fx $\alpha_i = S_{\text{origin}} \cdot \frac{C_l}{\pi \cdot b^2}$

Rekenmachine openen 

ex $0.000157^\circ = 5.18\text{m}^2 \cdot \frac{1.5}{\pi \cdot (950\text{m})^2}$

Algemene liftdistributie

31) Bereik efficiëntiefactor

fx $e_{\text{span}} = (1 + \delta)^{-1}$

Rekenmachine openen 

ex $0.952381 = (1 + 0.05)^{-1}$



32) Geïnduceerde lifthellingfactor gegeven liftcurvehelling van eindige vleugel ↗

$$fx \quad \tau = \frac{\pi \cdot AR \cdot \left(\frac{a_0}{a_{C,l}} - 1 \right)}{a_0} - 1$$

[Rekenmachine openen ↗](#)

$$ex \quad 3.277168 = \frac{\pi \cdot 15 \cdot \left(\frac{6.28\text{rad}^{-1}}{4\text{rad}^{-1}} - 1 \right)}{6.28\text{rad}^{-1}} - 1$$

33) Geïnduceerde weerstandscoëfficiënt gegeven geïnduceerde weerstandsfactor ↗

$$fx \quad C_{D,i} = \frac{(1 + \delta) \cdot C_L^2}{\pi \cdot AR}$$

[Rekenmachine openen ↗](#)

$$ex \quad 0.026961 = \frac{(1 + 0.05) \cdot (1.1)^2}{\pi \cdot 15}$$

34) Geïnduceerde weerstandscoëfficiënt gegeven Span Efficiency Factor ↗

$$fx \quad C_{D,i} = \frac{C_L^2}{\pi \cdot e_{span} \cdot AR}$$

[Rekenmachine openen ↗](#)

$$ex \quad 0.032096 = \frac{(1.1)^2}{\pi \cdot 0.8 \cdot 15}$$



35) Geïnduceerde weerstandsfactor gegeven geïnduceerde weerstandscoëfficiënt ↗

fx
$$\delta = \frac{\pi \cdot AR \cdot C_{D,i}}{C_L^2} - 1$$

[Rekenmachine openen ↗](#)

ex
$$76.89073 = \frac{\pi \cdot 15 \cdot 2}{(1.1)^2} - 1$$

36) Geïnduceerde weerstandsfactor gegeven spanefficiëntiefactor ↗

fx
$$\delta = e_{\text{span}}^{-1} - 1$$

[Rekenmachine openen ↗](#)

ex
$$0.25 = (0.8)^{-1} - 1$$

37) Hefcoëfficiënt gegeven geïnduceerde weerstandsfactor ↗

fx
$$C_L = \sqrt{\frac{\pi \cdot AR \cdot C_{D,i}}{1 + \delta}}$$

[Rekenmachine openen ↗](#)

ex
$$9.474164 = \sqrt{\frac{\pi \cdot 15 \cdot 2}{1 + 0.05}}$$

38) Hefcoëfficiënt gegeven Span Efficiency Factor ↗

fx
$$C_L = \sqrt{\pi \cdot e_{\text{span}} \cdot AR \cdot C_{D,i}}$$

[Rekenmachine openen ↗](#)

ex
$$8.683215 = \sqrt{\pi \cdot 0.8 \cdot 15 \cdot 2}$$



39) Span-efficiëntiefactor gegeven geïnduceerde luchtweerstandscoëfficiënt ↗

fx

$$e_{\text{span}} = \frac{C_L^2}{\pi \cdot AR \cdot C_{D,i}}$$

Rekenmachine openen ↗**ex**

$$0.012838 = \frac{(1.1)^2}{\pi \cdot 15 \cdot 2}$$

Beeldverhouding ↗

40) Aspectverhouding gegeven Span Efficiency Factor ↗

fx

$$AR = \frac{C_L^2}{\pi \cdot e_{\text{span}} \cdot C_{D,i}}$$

Rekenmachine openen ↗**ex**

$$0.240722 = \frac{(1.1)^2}{\pi \cdot 0.8 \cdot 2}$$

41) Beeldverhouding gegeven geïnduceerde weerstandsfactor ↗

fx

$$AR = \frac{(1 + \delta) \cdot C_L^2}{\pi \cdot C_{D,i}}$$

Rekenmachine openen ↗**ex**

$$0.202206 = \frac{(1 + 0.05) \cdot (1.1)^2}{\pi \cdot 2}$$



42) Beeldverhouding van vleugel gegeven Liftcurve Helling van eindige vleugel ↗

fx

$$AR = \frac{a_0 \cdot (1 + \tau)}{\pi \cdot \left(\frac{a_0}{a_{C,l}} - 1 \right)}$$

[Rekenmachine openen ↗](#)

ex

$$3.699878 = \frac{6.28\text{rad}^{-1} \cdot (1 + 0.055)}{\pi \cdot \left(\frac{6.28\text{rad}^{-1}}{4\text{rad}^{-1}} - 1 \right)}$$

43) Beeldverhouding van vleugel gegeven Liftcurve Helling van elliptische eindige vleugel ↗

fx

$$AR = \frac{a_0}{\pi \cdot \left(\frac{a_0}{a_{C,l}} - 1 \right)}$$

[Rekenmachine openen ↗](#)

ex

$$3.506993 = \frac{6.28\text{rad}^{-1}}{\pi \cdot \left(\frac{6.28\text{rad}^{-1}}{4\text{rad}^{-1}} - 1 \right)}$$

44) Oswald-efficiëntiefactor ↗

fx

$$e_{oswald} = 1.78 \cdot (1 - 0.045 \cdot AR^{0.68}) - 0.64$$

[Rekenmachine openen ↗](#)

ex

$$0.634903 = 1.78 \cdot (1 - 0.045 \cdot (15)^{0.68}) - 0.64$$



Hef de helling van de curve op ↗**45) 2D Lift Curve Helling van Airfoil gegeven Lift Helling van Eindige Vleugel** ↗

fx $a_0 = \frac{a_{C,l}}{1 - \frac{a_{C,l} \cdot (1+\tau)}{\pi \cdot AR}}$

Rekenmachine openen ↗

ex $4.393438 \text{ rad}^{-1} = \frac{4 \text{ rad}^{-1}}{1 - \frac{4 \text{ rad}^{-1} \cdot (1+0.055)}{\pi \cdot 15}}$

46) 2D Lift Curve Helling van Airfoil gegeven Lift Helling van Elliptic Finite Wing ↗

fx $a_0 = \frac{a_{C,l}}{1 - \frac{a_{C,l}}{\pi \cdot AR}}$

Rekenmachine openen ↗

ex $4.371024 \text{ rad}^{-1} = \frac{4 \text{ rad}^{-1}}{1 - \frac{4 \text{ rad}^{-1}}{\pi \cdot 15}}$

47) Liftcurve-helling voor eindige vleugel ↗

fx $a_{C,l} = \frac{a_0}{1 + \frac{a_0 \cdot (1+\tau)}{\pi \cdot AR}}$

Rekenmachine openen ↗

ex $5.505897 \text{ rad}^{-1} = \frac{6.28 \text{ rad}^{-1}}{1 + \frac{6.28 \text{ rad}^{-1} \cdot (1+0.055)}{\pi \cdot 15}}$



48) Liftcurve-helling voor elliptische eindige vleugel ↗**fx**

$$a_{C,l} = \frac{a_0}{1 + \frac{a_0}{\pi \cdot AR}}$$

Rekenmachine openen ↗**ex**

$$5.541507 \text{ rad}^{-1} = \frac{6.28 \text{ rad}^{-1}}{1 + \frac{6.28 \text{ rad}^{-1}}{\pi \cdot 15}}$$



Variabelen gebruikt

- **a** Afstand van centrum tot punt (*Millimeter*)
- **a₀** Helling van de 2D-liftcurve (*1 / Radian*)
- **a_{C,I}** Liftcurve Helling (*1 / Radian*)
- **AR** Vleugelbeeldverhouding
- **b** Spanwijdte (*Meter*)
- **c_d** Profiel Drag Coëfficiënt
- **C_D** Totale weerstandscoëfficiënt
- **C_{D,i}** Geïnduceerde weerstandscoëfficiënt
- **C_I** Liftcoëfficiënt Oorsprong
- **C_L** Hefcoëfficiënt
- **D_i** Geïnduceerde weerstand (*Newton*)
- **e_{oswald}** Oswald-efficiëntiefactor
- **e_{span}** Bereik efficiëntiefactor
- **F_L** Hefkracht (*Newton*)
- **F_{skin}** Huidwrijving en sleepkracht (*Newton*)
- **h** Loodrechte afstand (*Millimeter*)
- **P_{drag}** Druk-sleepkracht (*Newton*)
- **q_∞** Vrije stroom dynamische druk (*Pascal*)
- **S** Referentiegebied (*Plein Meter*)
- **S_{origin}** Referentiegebied Herkomst (*Plein Meter*)
- **v** Snelheid (*Meter per seconde*)



- V_∞ Freestream-snelheid (*Meter per seconde*)
- w Downwash (*Meter per seconde*)
- α Geometrische aanvalshoek (*Graad*)
- α_{eff} Effectieve aanvalshoek (*Graad*)
- α_i Geïnduceerde aanvalshoek (*Graad*)
- γ Vortex-kracht (*Vierkante meter per seconde*)
- Γ Circulatie (*Vierkante meter per seconde*)
- Γ_0 Circulatie bij oorsprong (*Vierkante meter per seconde*)
- δ Geïnduceerde weerstandsfactor
- ρ_∞ Freestream-dichtheid (*Kilogram per kubieke meter*)
- T Geïnduceerde lifthellingfactor



Constanten, functies, gebruikte metingen

- **Constante:** pi, 3.14159265358979323846264338327950288
Archimedes' constant
- **Functie:** sqrt, sqrt(Number)
Square root function
- **Meting:** **Lengte** in Millimeter (mm), Meter (m)
Lengte Eenheidsconversie ↗
- **Meting:** **Gebied** in Plein Meter (m^2)
Gebied Eenheidsconversie ↗
- **Meting:** **Druk** in Pascal (Pa)
Druk Eenheidsconversie ↗
- **Meting:** **Snelheid** in Meter per seconde (m/s)
Snelheid Eenheidsconversie ↗
- **Meting:** **Kracht** in Newton (N)
Kracht Eenheidsconversie ↗
- **Meting:** **Hoek** in Graad ($^\circ$)
Hoek Eenheidsconversie ↗
- **Meting:** **Dikte** in Kilogram per kubieke meter (kg/m^3)
Dikte Eenheidsconversie ↗
- **Meting:** **Momentum diffusie** in Vierkante meter per seconde (m^2/s)
Momentum diffusie Eenheidsconversie ↗
- **Meting:** **Wederzijdse hoek** in 1 / Radian (rad^{-1})
Wederzijdse hoek Eenheidsconversie ↗
- **Meting:** **Snelheid Potentieel** in Vierkante meter per seconde (m^2/s)
Snelheid Potentieel Eenheidsconversie ↗



Controleer andere formulelijsten

- Oncompressibele stroming over aërodynamisch profiel
Formules 
- Onsamendrukbare stroom over eindige vleugels Formules 
- Driedimensionale onsamendrukbare stroom
Formules 

DEEL dit document gerust met je vrienden!

PDF Beschikbaar in

[English](#) [Spanish](#) [French](#) [German](#) [Russian](#) [Italian](#) [Portuguese](#) [Polish](#) [Dutch](#)

10/30/2023 | 5:37:37 AM UTC

[Laat hier uw feedback achter...](#)

